

---

## RISC processor implementation 32-bit MIPS-based: an approach to teaching and learning

### Implementação do processador RISC baseado em MIPS de 32 bits: uma abordagem para o ensino e aprendizagem

Received: 2023-09-03 | Accepted: 2023-10-05 | Published: 2023-10-11

---

#### Francisco Silva e Serpa

ORCID: <https://orcid.org/0000-0002-4218-0674>

Instituto Federal de Educação, Ciência e Tecnologia do Pará - Campus Parauapebas, Brasil

E-mail: francisco.serpa@ifpa.edu.br

#### Alan Marcel Fernandes de Souza

ORCID: <https://orcid.org/0000-0002-1656-5714>

Instituto Federal de Educação, Ciência e Tecnologia do Pará - Campus Parauapebas, Brasil

E-mail: alan.marcel@ifpa.edu.br

#### Hélio Fernando Bentzen Pessoa Filho

ORCID: <https://orcid.org/0000-0002-3089-1639>

Instituto Federal de Educação, Ciência e Tecnologia de Pernambuco - Campus Afogados da Ingazeira, Brasil

E-mail: helio.filho@afogados.ifpe.edu.br

#### Kassio Derek Nogueira Cavalcante

ORCID: <https://orcid.org/0009-0004-5632-9558>

Instituto Federal de Educação, Ciência e Tecnologia do Ceará - Campus Cedro, Brasil

E-mail: Kassioderek@hotmail.com

---

#### ABSTRACT

This article describes the development of the design of a processor based on the RISC architecture, taking the 32-bit MIPS microprocessor as a basis. The RISC architecture, which stands for Reduced Instruction Set Computer, is characterized by having a reduced instruction set, aiming to optimize the processor's overall performance. The designed MIPS processor follows a 5-stage pipeline, which comprises the instruction fetch, instruction decode, execution, preparation and memory access phases. The main objective of this article is to carry out the structural development of the processor, using the hardware description language. This implies the creation of a Verilog representation that will later be used to generate the extraction of the processor's logic circuit. Furthermore, the project involves generating a timing diagram that illustrates the temporal behavior of processor operations and, ultimately, the physical implementation of the processor core. This work seeks to contribute knowledge in the field of computer architecture, providing a practical implementation of a RISC processor based on the 32-bit MIPS architecture, which can be relevant both for educational purposes and for practical applications in embedded systems.

**Keywords:** MIPS; RISC; Verilog

---

## RESUMO

Este artigo descreve o desenvolvimento do *design* de um processador baseado na arquitetura RISC, tomando como base o microprocessador MIPS de 32 bits. A arquitetura RISC, que significa *Reduced Instruction Set Computer*, é caracterizada por ter um conjunto de instruções reduzido, visando otimizar o desempenho geral do processador. O processador MIPS projetado segue um *pipeline* de 5 estágios, que compreende as fases de busca de instruções, decodificação de instruções, execução, preparação e acesso à memória. O objetivo principal deste artigo é realizar o desenvolvimento estrutural do processador, empregando a linguagem de descrição de hardware. Isso implica na criação de uma representação em Verilog que posteriormente será utilizada para gerar a extração do circuito lógico do processador. Além disso, o projeto envolve a geração de um diagrama de tempo que ilustra o comportamento temporal das operações do processador e, por fim, a implementação física do núcleo do processador. Este trabalho busca contribuir conhecimentos no campo da arquitetura de computadores, fornecendo uma implementação prática de um processador RISC baseado na arquitetura MIPS de 32 bits, o que pode ser relevante tanto para fins educacionais quanto para aplicações práticas em sistemas embarcados.

**Palavras-chave:** MIPS; RISC; Verilog

---

## INTRODUÇÃO

Os processadores RISC (*Reduced Instruction Set Computer*) foram criados com o objetivo de fabricar um tipo de microprocessador que utiliza um conjunto pequeno e simples de instruções invés de uma variedade de instruções complexas e de modos de endereçamento, como é o caso da arquitetura CISC (*Complex Instruction Set Computer*). E a MIPS (*Microprocessor without Interlocked Pipeline Stages*) Technologies foi uma fabricante de computadores que projetou e vendeu vários microprocessadores RISC começando com o processador MIPS R2000, no ano de 1980 (ROTH et al., 2016).

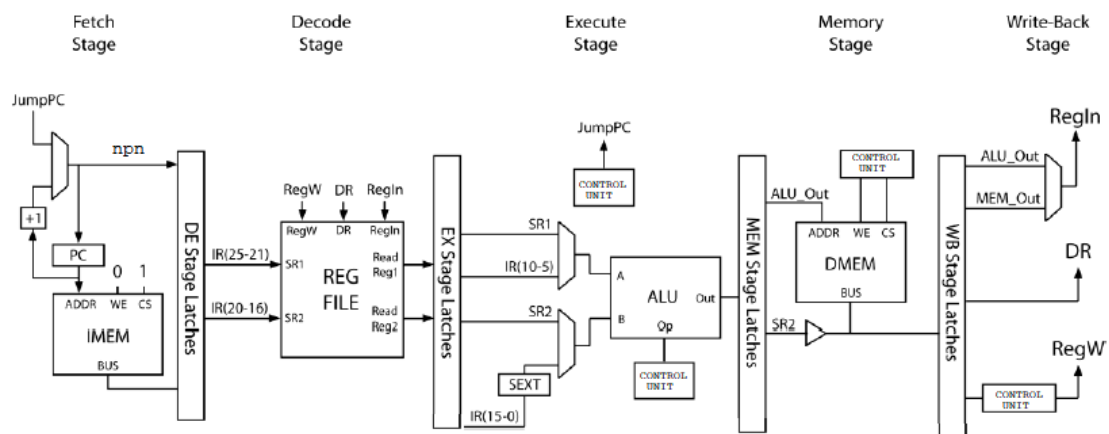
Além da simplicidade de instruções e modos de endereçamento, pode-se citar outros principais recursos característicos da maioria dos processadores RISC, como: comprimento uniforme da instrução de 32 bits, grande número de registros e arquitetura de carregamento e armazenamento. Esses recursos tornam o *design* RISC idealmente adequado para participar de uma tendência poderosa no mercado de processador embutido: o "*system-on-a-chip*" (JAIN, 2012). Existem várias empresas de semicondutores de implementação do processador RISC no "*system-on-a-chip*", como Atmel AVR, Micro Blaze, que são amplamente utilizados para aplicativos incorporados e DSP (*Digital Signal Processor*), devido a diferença no tempo necessário para acessar um registro em comparação com um local de memória, é muito mais rápido realizar operações em registradores de chip em vez da memória. A arquitetura permanece o mesmo para todos os processadores baseados em MIPS enquanto as implementações podem diferir como ciclo único, ciclo múltiplo e implementação em *pipeline*. Os microprocessadores RISC mais comuns são: ARM, SP ARC, MIPS e IBM's PowerPC (TOPIWALA & SARASWATHI, 2014).

Hoje em dia, a potência do equipamento e o parâmetro de desempenho são os aspectos mais importantes para aplicações embarcadas e portáteis (TOPIWALA & SARASWATHI, 2014). Porém, em qualquer circuito integrado, existe uma compensação entre potência, área e tempo de processamento que deve ser analisada. Neste artigo, será descrito e analisado o desenvolvimento de um projeto de microprocessador MIPS pelo diagrama de blocos RTL, código em Verilog, síntese e extração do circuito, tempo de processamento do circuito (*report timing*), simulação do diagrama de tempo das IOS (*Input/Output System*) e implementação física com auxílio do software Cadence®.

### ARQUITETURA DO MICROPROCESSADOR MIPS

A arquitetura do microprocessador MIPS foi implementada usando cinco etapas em *pipeline*: *fetch*, *decode*, *execute*, *memory* e *write-back* (ASHOK & RAVI, 2017). A etapa de busca (*fetch*) utiliza um contador de programa (PC) que busca a instrução do módulo *memory* (MEM) e rastreia as instruções de 32 bits no formato hexadecimal, em seguida entra na etapa de decodificação (*Decode*) que identifica as instruções, conforme formatos preestabelecidos (R, I, J) mostrados na tabela 1. Devido aos formatos uniformes, os campos de instruções são usados diretamente para endereçamento do registro e geração de sinais de controle. Após a instrução ser identificada, a próxima etapa é executar (*Execute*) as instruções conforme o formato, as operações lógicas e aritméticas (ULA) ocorrem neste estágio, assim como operações de desvios (*bne* e *beq*) e salto (*jr*). E por fim, a quarta e quinta etapas são o acesso e regravação da memória (*memory* MEM) com objetivo de ler e escrever na memória de dados e em seguida gravar de volta o resultado no módulo *register*. A descrição da arquitetura em fases é mostrada na figura 1.

**Figura 1 – Datapath do MIPS Pipelined**



Fonte: ROTH et al. (2016)

**Tabela 1** – Formato de instruções no MIPS

Format	Fields						Comments
	6 bits 31..26	5 bits 25..21	5 bits 20..16	5 bits 15..11	5 bits 10..6	6 bits 5..0	All MIPS instruction are 32 bits.
R-format	opcode	rs	rt	rd	shamt	F_Code (funct)	ALU instructions except immediate, Jump Register (JR)
I-format	opcode	rs	rt	address/immediate			Load, store, Immediate ALU, beq, bne
J-format	opcode	target address					Jump (J)

Fonte: ROTH et al. (2016)

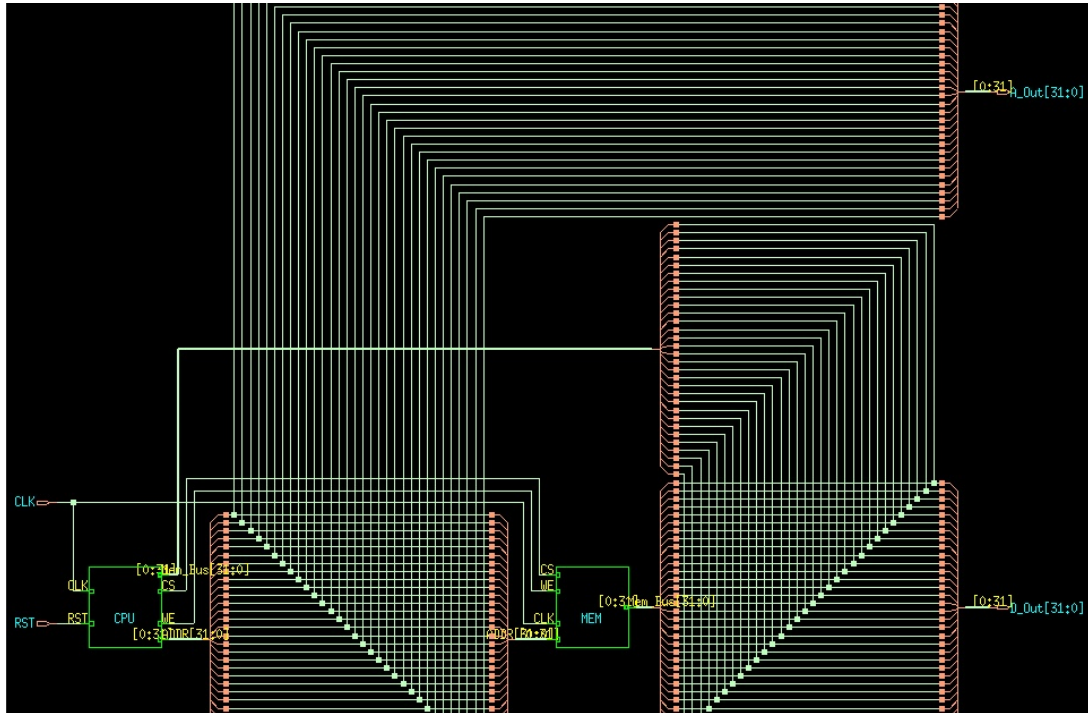
## MATERIAIS E MÉTODOS

Os resultados apresentados neste trabalho foram obtidos através dos *softwares* RTL, *Genus Synthesis Solution*, *SimVision* e *Innovus* Cadence®. Os principais passos da metodologia de projeto foram: especificações das restrições de projeto no arquivo SDC (*Synopsys Design Constraints*) conforme apêndice I, verificação e aplicação do script TCL (*Tool Command Language*) para a síntese lógica conforme anexo I, Utilização de DFTs (*Design for test*) na arquitetura, utilização da biblioteca de células LEF (*Layout Exchange Format*), aplicação dos parâmetros de processo PVT (*process/voltage/temperature*), realização da verificação formal do circuito através do LEC (*Logic Equivalence Checker*), definição do módulo *top*, o qual faz a integração do *netlist* com os PADS de entrada, saídas e alimentação, definição do posicionamento dos PADS de entrada, saídas e alimentação, realização do *Floorplan* (relação de tamanho do circuito, percentual de ocupação e espaçamento dos extremos para o núcleo e vários outros detalhes) do circuito, realização do *Power Planning* do circuito adicionando os anéis e os *stripes* de VDD e GND do circuito, realização do *Placement* do circuito, realização do roteamento completo do circuito, verificação do *timing closure* de *setup* e *hold* para as etapas de pré-CTS, pós-CTS e pós-Route, inserção das *Spare Cells* e das *Filler Cells*; realização do *Metal fill*; realização das verificações finais do projeto, DRC (regras de projeto da terminologia utilizada), Geometria, Conectividade, densidade de metal; realização da análise de potência.

## RESULTADO DAS SIMULAÇÕES

O processo de *synthesis* realizado pelos softwares Genus Synthesis Solution Cadence® transformará a descrição em Verilog (Anexo 1) do módulo Complete MIPS em um circuito em blocos com entradas e saídas, conforme figura 2. Foram adicionadas as restrições (*constraints*) de capacitância de comutação e de tempo das entradas, das saídas e do *clock* necessárias para verificação de desempenho interno do processador através da ferramenta *report timing*. As especificações de tempo estão descritas no anexo 2.

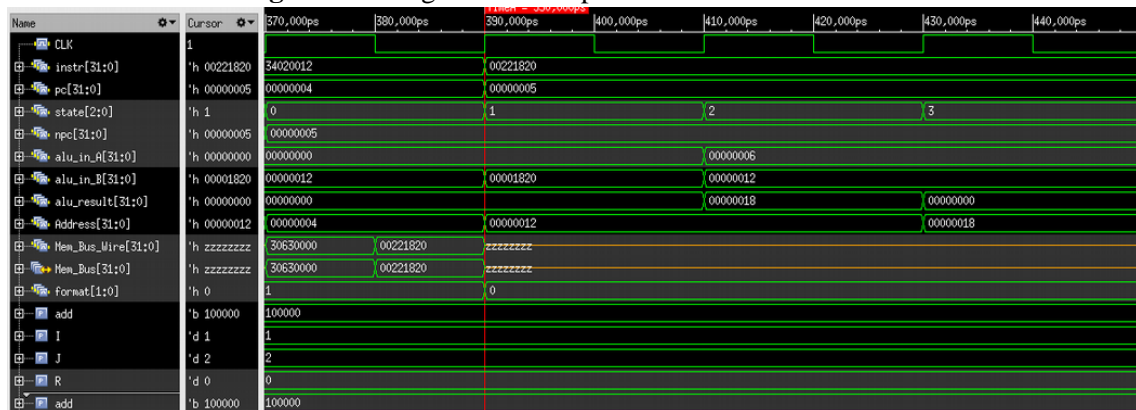
**Figura 2 – Schematic do módulo Complete MIPS**



Fonte: Autoria própria

O *status* das entradas e saídas de todo circuito podem ser analisados pelo diagrama de tempo simulado pelo *software SimVision Cadence®* conforme figura 3.

**Figura 3 – Diagrama de tempo do circuito no SimVision**



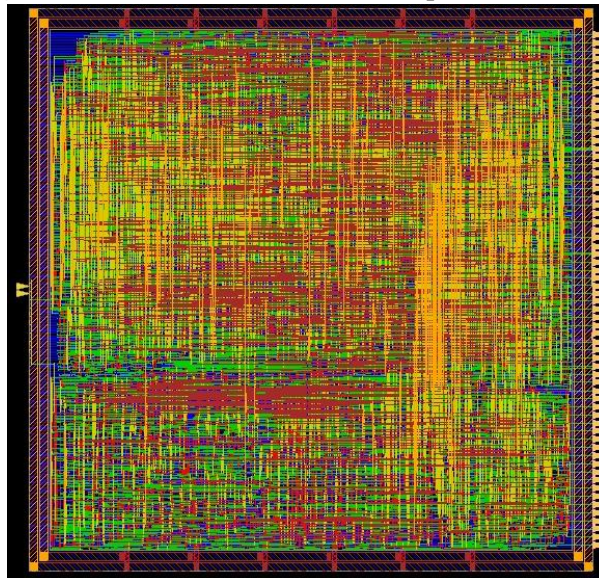
Fonte: Autoria própria

Na figura 3 mostra que o state 0 (*fetch*) buscará na memória a instrução armazenada 0022182016, já no state 1 (*decode*) será convertida em 10001000011000001000002 e conforme formato de instruções (Tabela 1) e descrição em Verilog (Anexo 1) é definida como formato R e a opção de operação como adição. Em seguida, no state 2 (*execute*) coletasse as informações dos endereços \$1 (*alu\_in\_A*) e \$2 (*alu\_in\_B*) e realiza-se a adição que fica armazenada em \$3

(alu\_result). Por fim, no state 3 (*memory*) a informação é repassada para *Address* e preparada para ser armazenada na memória.

O *layout* do processador MIPS é mostrado na figura 4 através do simulador *Innovus Cadence®*. Nesta etapa, foram especificadas as barras de alimentação em volta do núcleo ( $W = 12 \mu\text{m}$ ,  $S = 2 \mu\text{m}$ ,  $\text{Offs} = 4 \mu\text{m}$ ), espessuras (metal 5 e 6) para VDD e VSS, as barras de alimentação cortando o núcleo na vertical ( $W = 6 \mu\text{m}$ ,  $S = 2 \mu\text{m}$ ,  $\text{Set} = 100 \mu\text{m}$ ), os pinos de entrada a esquerda e de saída a direita com espaçamento entre eles de  $11,2 \mu\text{m}$ , a adição das células digitais, preenchimento com os *fillers*, *pré-route* e a verificação de violação da geometria, DRC e conectividade.

**Figura 4** – *Layout* do núcleo do microprocessador MIPS



Fonte: Autoria própria

Para verificação de desempenho utilizou-se a ferramenta *report timing* logo após a *synthesis*, conforme exibido no apêndice II, pode-se destacar: O *Slack* positivo de  $68 \text{ ps}$  que representa a diferença entre os tempos requeridos e de chegada, e o *Data Path* de  $2323 \text{ ps}$  que pela lista dos blocos digitais tem como caminho crítico o bloco CPU\_g75/Z, o qual apresenta o maior atraso no processamento com *delay* de  $511 \text{ ps}$  e *transition* de  $546 \text{ ps}$ . Já as potências extraídas, pode-se destacar a Potência estática (*Leakage*) de  $1,404 \mu\text{W}$  e a Potência dinâmica (*Switching*) de  $0,145 \text{ W}$  do módulo Complete\_MIPS, conforme apêndice III.

## CONCLUSÃO

Neste artigo, foi apresentado o *design* de processador RISC baseado em MIPS de 32 bits e implementado com funcionalidades de *pipeline*. Cada instrução foi executada em um ciclo de *clock* com 5 etapas. O *design* foi implementado usando Verilog-HDL e sintetizado usando o software RTL Cadence®. Este tipo de projeto pode ser usado para realizar simulações e testes da arquitetura RISC e principalmente tornar o ensino desse importante tópico da engenharia da computação menos abstrato, pois permite que o aluno pratique a teoria.

## REFERÊNCIAS

ASHOK, Agineti; RAVI, V. ASIC design of MIPS based RISC processor for high performance. In: **2017 International Conference on Nextgen Electronic Technologies: Silicon to Software (ICNETS2)**. IEEE, 2017. p. 263-269.

JAIN, Neeraj. VLSI design and optimized implementation of a MIPS RISC processor using XILINX tool. **International Journal of Advanced Research in Computer Science and Electronics Engineering (IJARCSEE)**, v. 1, n. 10, 2012.

TOPIWALA, Mohit N.; SARASWATHI, N. Implementation of a 32-bit MIPS based RISC processor using Cadence. In: **2014 IEEE International Conference on Advanced Communications, Control and Computing Technologies**. IEEE, 2014. p. 979-983.

ROTH, Charles; JOHN, Lizy Kurian; LEE, Byeong Kil. **Digital System Design Using Verilog**, Cengage Learning US, 2016.

## ANEXO I - CÓDIGO COMPLETO EM VERILOG



```

1  module Complete_MIPS(CLK, RST, A_Out, D_Out);
2  input CLK;
3  input RST;
4  output [31:0] A_Out;
5  output [31:0] D_Out;
6  wire CS, WE;
7  wire [31:0] ADDR, Mem_Bus;
8  assign A_Out = ADDR;
9  assign D_Out = Mem_Bus;
10 MIPS_CPU(CLK, RST, CS, WE, ADDR, Mem_Bus);
11 Memory_MEM(CS, WE, CLK, ADDR, Mem_Bus);
12 endmodule
13
14 module Memory(CS, WE, CLK, ADDR, Mem_Bus);
15 input CS, WE, CLK;
16 input [31:0] ADDR;
17 inout [31:0] Mem_Bus;
18 reg [31:0] data_out;
19 reg [31:0] RAM [0:127];
20 integer i;
21 initial begin
22     RAM[1] = 32'h30000000;
23     ...
24     RAM[127] = 32'h00000000;
25 end
26 assign Mem_Bus = ((CS == 1'b0) || (WE == 1'b1)) ? 32'bZ : data_out;
27 always @(negedge CLK) begin
28     if((CS == 1'b1) && (WE == 1'b1))
29     RAM[ADDR] <= Mem_Bus[31:0];
30     data_out <= RAM[ADDR];
31 end
32 endmodule
33
34 `define opcode instr[31:26]
35 `define srl instr[25:21]
36 `define sr2 instr[20:16]
37 `define f_code instr[5:0]
38 `define numshift instr[10:6]
39 module MIPS (CLK, RST, CS, WE, ADDR, Mem_Bus);
40 input CLK, RST;
41 output reg CS, WE;
42 output [31:0] ADDR;
43 inout [31:0] Mem_Bus;
44 //special instructions (opcode == 000000), values of F code (bits 5-0):
45 parameter add = 6'b100000;
46 parameter sub = 6'b100010;
47 parameter xorl = 6'b100110;
48 parameter andl = 6'b100100;
49 parameter orl = 6'b100101;
50 parameter slt = 6'b101010;
51 parameter srl = 6'b000010;
52 parameter sll = 6'b000000;
53 parameter jr = 6'b001000;
54 //non-special instructions, values of opcodes:
55 parameter addi = 6'b001000;
56 parameter andi = 6'b001100;
57 parameter ori = 6'b001101;
58 parameter lw = 6'b100011;
59 parameter sw = 6'b101011;
60 parameter beq = 6'b000100;
61 parameter bne = 6'b000101;
62 parameter j = 6'b000010;
63 //instruction format
64 parameter R = 2'd0;
65 parameter I = 2'd1;
66 parameter J = 2'd2;
67 //internal signals
68 reg [5:0] op, opsave;
69 wire [1:0] format;
70 reg [31:0] instr, pc, npc, alu_result;
71 wire [31:0] imm_ext, alu_in_A, alu_in_B, reg_in, readreg1, readreg2;
72 reg [31:0] alu_result_save;
73 reg alu_or_mem, alu_or_mem_save, regw, writing, reg_or_imm, reg_or_imm_save;

```



```

146 else if (opsave == slt) alu_result = (alu_in_A < alu_in_B)? 32'd1 : 32'd0;
147 else if (opsave == xorl) alu_result = alu_in_A ^ alu_in_B;
148 if (((alu_in_A == alu_in_B)&&(`opcode == beq)) || ((alu_in_A != alu_in_B)&&(`opcode ==
149 bne))) begin
149 npc = pc + imm_ext;
150 nstate = 3'd0;
151 end
152 else if ((`opcode == bne)||(`opcode == beq)) nstate = 3'd0;
153 else if (opsave == jr) begin
154 npc = alu_in_A;
155 nstate = 3'd0;
156 end
157 end
158 3: begin //prepare to write to mem
159 nstate = 3'd0;
160 if ((format == R)||(`opcode == addi)||(`opcode == andi)||(`opcode == ori))
161 regw = 1;
162 else if (`opcode == sw) begin
163 CS = 1;
164 WE = 1;
165 writing = 1;
166 end
167 else if (`opcode == lw) begin
168 CS = 1;
169 nstate = 3'd4;
170 end
171 end
172 4: begin
173 nstate = 3'd0;
174 CS = 1;
175 if (`opcode == lw) regw = 1;
176 end
177 endcase
178 end //always
179 always @(posedge CLK) begin
180 if (RST) begin
181 state <= 3'd0;
182 pc <= 32'd0;
183 end
184 else begin
185 state <= nstate;
186 pc <= npc;
187 end
188 if (state == 3'd0) instr <= Mem_Bus;
189 else if (state == 3'd1) begin
190 opsave <= op;
191 reg_or_imm_save <= reg_or_imm;
192 alu_or_mem_save <= alu_or_mem;
193 end
194 else if (state == 3'd2) alu_result_save <= alu_result;
195 end //always
196 endmodule
197
198 module Register(CLK, RegW, DR, SR1, SR2, Reg_In, ReadReg1, ReadReg2);
199 input CLK, RegW;
200 input [4:0] DR, SR1, SR2;
201 input [31:0] Reg_In;
202 output reg [31:0] ReadReg1, ReadReg2;
203 reg [31:0] REG [0:31];
204 integer i;
205 initial begin
206 ReadReg1 = 0;
207 ReadReg2 = 0;
208 for (i = 0; i < 32; i = i+1) begin
209 REG[i] = 0;
210 end
211 end
212 always @(posedge CLK) begin
213 if (RegW == 1'b1)
214 REG[DR] <= Reg_In[31:0];
215 ReadReg1 <= REG[SR1];
216 ReadReg2 <= REG[SR2];
217 end

```

```
218 endmodule
219
220 module mips_testbench;
221 reg CLK;
222 wire CS, WE;
223 parameter N = 10;
224 reg[31:0] expected[N:1];
225 wire[31:0] Address, Address_Mux, Mem_Bus_Wire;
226 reg[31:0] AddressTB;
227 wire WE_Mux, CS_Mux, compare;
228 reg init, rst, WE_TB, CS_TB;
229 integer i;
230 MIPS_CPU(CLK, rst, CS, WE, Address, Mem_Bus_Wire);
231 Memory_MEM(CS_Mux, WE_Mux, CLK, Address_Mux, Mem_Bus_Wire);
232 assign Address_Mux = (init)? AddressTB : Address;
233 assign WE_Mux = (init)? WE_TB : WE;
234 assign CS_Mux = (init)? CS_TB : CS;
235 always
236 #10 CLK = ~CLK;
237 initial begin
238 expected[1] = 32'h00000006; // $1 content=6 decimal
239 expected[2] = 32'h00000012; // $2 content=18 decimal
240 expected[3] = 32'h00000018; // $3 content=24 decimal
241 expected[4] = 32'h0000000C; // $4 content=12 decimal
242 expected[5] = 32'h00000002; // $5 content=2
243 expected[6] = 32'h00000016; // $6 content=22 decimal
244 expected[7] = 32'h00000001; // $7 content=1
245 expected[8] = 32'h00000120; // $8 content=288 decimal
246 expected[9] = 32'h00000003; // $9 content=3
247 expected[10] = 32'h00412022; // $10 content=5th instr
248 CLK = 0;
249 end
250 always begin
251 rst = 1;
252 @(posedge CLK); //wait until posedge CLK
253 //Initialize the instructions from the testbench
254 init <= 1; CS_TB <= 1; WE_TB <= 1;
255 @(posedge CLK);
256 CS_TB <= 0; WE_TB <= 0; init <= 0;
257 @(posedge CLK);
258 rst <= 0;
259 for(i = 1; i <= N; i = i+1) begin
260 @(posedge WE); // When a store word is executed
261 @(negedge CLK);
262 if (Mem_Bus_Wire == expected[i]);
263 $stop;
264 end
265 end
266 endmodule
267
268
269
```

**APÉNDICE I - SDC (SYNOPTIS DESIGN CONSTRAINTS)**

```
1  ## Logical/Physical synthesis constraints ##
2  ## DEFINE VARS
3  set_sdc version 1.5
4  set_load_unit -picofarads 1
5
6  create_clock -name {CLK} -period 5 [get_ports {CLK}]
7  set_false_path -from [get_ports {RST}]
8
9  ## INPUTS
10 set_input_delay -clock CLK -max 1 [all_inputs]
11 set_input_transition -min -rise 0.0005 [all_inputs]
12 set_input_transition -max -rise 1 [all_inputs]
13 set_input_transition -min -fall 0.0005 [all_inputs]
14 set_input_transition -max -fall 1 [all_inputs]
15
16 ## OUTPUTS
17 set_output_delay -clock CLK -max 1 [all_outputs]
18 set_load -min 0.0005 [all_outputs]
19 set_load -max 1 [all_outputs]
20
```


## APÊNDICE II - REPORT TIMING

```

1 Path 1: MET (68 ps) Setup Check with Pin MEM/RAM_reg[1][8]/CPN->D
2   Group: CLK
3   Startpoint: (R) CPU_instr_reg[31]/CP
4   Clock: (R) CLK
5   Endpoint: (F) MEM/RAM_reg[1][8]/D
6   Clock: (F) CLK
7
8           Capture      Launch
9   Clock Edge:+ 2500      0
10  Src Latency:+ 0        0
11  Net Latency:+ 0 (I)    0 (I)
12  Arrival:= 2500      0
13
14           Setup:- 108
15  Required Time:= 2392
16  Launch Clock:- 0
17  Data Path:- 2323
18  Slack:= 68
19
20 #-----
21 # Timing Point      Flags      Arc      Edge      Cell      Fanout      Load      Trans      Delay      Arrival      Instance
22 #                  (fF)      (ps)      (ps)      (ps)      Location
23 #-----
24 CPU_instr_reg[31]/CP - - - R (arrival) 5323 - 0 - 0 (-,-)
25 CPU_instr_reg[31]/Q - - CP->Q R EDFQD2BWP7T 5 33.2 106 256 256 (-,-)
26 CPU_g11918/ZN - - A1->ZN R INR2XD0BWP7T 2 15.5 205 180 436 (-,-)
27 CPU_g11915/ZN - - A2->ZN F ND3D1BWP7T 4 25.8 181 144 580 (-,-)
28 CPU_g11818/ZN - - A1->ZN F IND2D1BWP7T 1 13.2 88 164 744 (-,-)
29 CPU_g11816/ZN - - A1->ZN R NR2D2BWP7T 4 36.2 238 155 898 (-,-)
30 CPU_g11805/Z - - I->Z R BUFPD1P5BWP7T 2 27.8 117 129 1027 (-,-)
31 CPU_g11804/ZN - - I->ZN F INV2D2BWP7T 2 39.4 68 60 1087 (-,-)
32 CPU_g11802/ZN - - I->ZN R CKND4BWP7T 8 108.6 156 108 1196 (-,-)
33 CPU_g75/Z - - OE->Z F BUFTD6BWP7T 4 1085.7 546 511 1707 (-,-)
34 MEM/g21305/ZN - - I->ZN R INV2D6BWP7T 128 661.2 607 482 2189 (-,-)
35 MEM/g20074/ZN - - A2->ZN F MOAI22D0BWP7T 1 9.5 196 134 2323 (-,-)
36 MEM/RAM_reg[1][8]/D <<< - - F DFND0BWP7T 1 - - 0 2323 (-,-)
37 #-----

```

## APÊNDICE III - RELATÓRIO COMPLETO DE POTÊNCIAS

 Power Details Report

Generated by: Genus(TM) Synthesis Solution 19.10-p002\_1

Module: design:Complete\_MIPS

Technology libraries: physical\_cells  
tc018gbwp7ttc 270

Operating conditions: NCCOM ()

Interconnect mode: ple

Instance	Cells	Leakage (nW)	Internal (nW)	Net (nW)	Switching (nW)
Complete_MIPS/CPU_lt_113_48	97	3.202	34464.531	28967.094	63431.626
Complete_MIPS/MEM	12758	1052.990	104457404.086	7174530.809	111631934.895
Complete_MIPS	17005	1403.999	133875228.261	11672565.332	145547793.593

**[NÃO RENOMEAR ARQUIVO: manter “Template\_CLM23SET.docx”]**